

ผลของอายุตะกอนต่อการกำจัดซีโอดีของน้ำเสียในงานผลิตเบียร์
โดยกระบวนการแอนแอโรบิก-ออกซิค ออกติเวตเตดสลัตเตอร์

นายสุกฤษ ลุขสถาณ



วิทยานิพนธ์นี้เป็นส่วนหนึ่งของการศึกษาตามหลักสูตรปริญญาวิศวกรรมศาสตรมหาบัณฑิต
ภาควิชาชีวกรรมลิ้งแวดล้อม

บัณฑิตวิทยาลัย จุฬาลงกรณ์มหาวิทยาลัย

ปีการศึกษา 2539

ISBN 974-635-698-4

สงวนลิขสิทธิ์ของบัณฑิตวิทยาลัย จุฬาลงกรณ์มหาวิทยาลัย

**EFFECTS OF SLUDGE AGE ON COD REMOVAL
OF BREWERY WASTEWATER BY ANAEROBIC - OXIC ACTIVATED SLUDGE**

Mr. Sukasom Suksathan

A Thesis Submitted in Partial Fulfillment of the Requirements for

The Degree of Master of Engineering

Department of Environmental Engineering

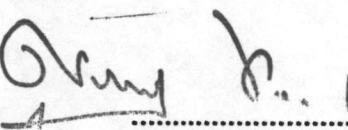
Graduate School Chulalongkorn University

Academic Year 1996

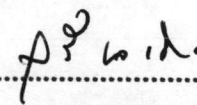
ISBN 974-635-698-4

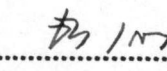
หัวข้อวิทยานิพนธ์
ผลของอายุต่อการกำจัดซีโอดีของน้ำเสีย โรงงานผลิตเบียร์
โดย
นายสุกham สุขสตาน
ภาควิชา
วิศวกรรมสิ่งแวดล้อม
อาจารย์ที่ปรึกษา
รองศาสตราจารย์ ดร.ธีระ เกรอต

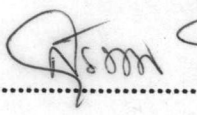
บัณฑิตวิทยาลัย จุฬาลงกรณ์มหาวิทยาลัย อนุมัติให้วิทยานิพนธ์ฉบับนี้เป็นส่วนหนึ่งของการศึกษาตามหลักสูตรปริญญามหาบัณฑิต

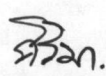

.....คณบดีบัณฑิตวิทยาลัย
(ศาสตราจารย์ นายแพทย์ ศุภวัฒน์ ชุติวงศ์)

คณะกรรมการวิทยานิพนธ์


.....ประธานคณะกรรมการ
(รองศาสตราจารย์ สุรี ขาวเฉียร)


.....อาจารย์ที่ปรึกษา
(รองศาสตราจารย์ ดร.ธีระ เกรอต)


.....กรรมการ
(รองศาสตราจารย์ ดร.สุรพล สายพานิช)


.....กรรมการ
(อาจารย์ ศิริมา ปัญญาเมธิกุล)

พิมพ์ต้นฉบับทัศน์อวิทยานิพนธ์ภายในกรอบสีเขียวนี้เพียงแผ่นเดียว



สุกัญ ศุขสถาน : ผลของอายุตะกอนท่อการกำจัดซีไอดีของน้ำเสียโรงงานผลิตเบียร์ โดยกระบวนการ
แอนาEROบิก-ออกซิค แยกตัวเตคสแลดจ์ (EFFECTS OF SLUDGE AGE ON COD
REMOVAL OF BREWERY WASTEWATER BY ANAEROBIC-OXIC ACTIVATED
SLUDGE PROLESS)

อ.ที่ปรึกษา : รศ.ดร.ธีระ เกรอต 184 หน้า ISBN 974-635-698-4

การใช้กระบวนการการแอนาEROบิก-ออกซิค แยกตัวเตคสแลดจ์ กำจัดซีไอดีของน้ำเสียโรงงานผลิตเบียร์ ทำ
ในแบบทดลองที่มีเวลาถ่วง 28.8 ชม. มีสัดส่วนปริมาตรของถังแอนาEROบิกต่อปริมาตรทั้งหมดเท่ากับ 1:6 ค่าอายุ
ตะกอนเปลี่ยนจาก 3 ถึง 15 วัน อัตราส่วนเรียนกลับเท่ากับ 100 % น้ำเสียที่ใช้ในการทดลองมีค่าซีไอดีทั้งหมด 1000 ก./ลบ.ม.
และมีอัตราส่วนค่า COD:N:P ที่ 150:5:1

เมื่ออายุตะกอนเท่ากับ 3, 7, 11 และ 15 วัน ค่าอัตราส่วนสารอาหารต่อจุลินทรีย์ในถังแอนาEROบิก เท่ากับ
7.27, 4.11, 3.41 และ 3.24 กก.ซีไอดี ต่อ กก.ตะกอนจุลินทรีย์ต่อวัน และค่าอัตราส่วนอาหารต่อจุลินทรีย์ของระบบเท่ากับ
1.41, 0.73, 0.52 และ 0.50 กก.ซีไอดีต่อ กก.ตะกอนจุลินทรีย์ตามลำดับ

ประสิทธิภาพในการกำจัดซีไอดีในช่วงแอนาEROบิกประมาณค่าอายุตะกอน และผลกระทบต่อค่าอัตรา
อัตราส่วนอาหารต่อจุลินทรีย์ เมื่อค่าอายุตะกอนเพิ่มขึ้น ประสิทธิภาพการกำจัดซีไอดีในช่วงแอนาEROบิกจะเพิ่มตามไปด้วย

ในช่วงอายุตะกอนเท่ากับ 3 ถึง 15 วัน ค่าอัตราส่วนอาหารต่อจุลินทรีย์ และค่าอายุตะกอนไม่ได้ส่งผลกระทบ
ต่อประสิทธิภาพการกำจัดซีไอดีรวมของระบบอย่างมีนัยสำคัญ โดยจะมีค่าประสิทธิภาพในการกำจัดซีไอดีรวมของระบบอยู่
ในช่วง 94-96%

ที่อุณหภูมิ 20° ช. อัตราการสลายตัวจำเพาะ (b) = 0.002 ชม.⁻¹, ค่าขีดค่าที่แท้จริง (Y_g) = 0.367 ก.-เซคล์/ ก.
ซีไอดี, ค่าอัตราการเจริญเติบโตจำเพาะสูงสุด (μ_m) = 0.015 ชม.⁻¹ และค่าคงที่ความเร็วครึ่งหนึ่ง (K_s) = 16.44 ก.ซีไอดี/ลบ.ม.

พิมพ์ด้วยเครื่องพิมพ์อิเล็กทรอนิกส์ภายในกรอบสีเขียวนี้เพียงแผ่นเดียว

C617625 : MAJOR ENVIRONMENTAL ENGINEERING

KEY WORD: ANAEROBIC-OXIC / KINETIC PARAMETER / PHOSPHORUS REMOVAL

SUKASOM SUKSATHAN : EFFECTS OF SLUDGE AGE ON COD REMOVAL

OF BREWERY WASTEWATER BY ANAEROBIC-OXIC ACTIVATED SLUDGE

PROCESS, THESIS ADVISOR:ASSO.PROF.THREERA KAROT, Ph.D

184 PP.ISBN 974-635-698-4

Treatment of brewery wastewater using anaerobic-oxic activated sludge was done in an experimental model. The total HRT was 28.8 hrs and the volume fraction of anaerobic tank was 1:6. The sludge ages were varied from 3 to 15 days with sludge return rate of 100%. The wastewater in this experiment had total COD of 1000 g./m³ and the COD:N:P ratio was 150:5:1.

When the sludge ages were 3, 7, 11 and 15 days, the F/M ratio in the anaerobic tank were 7.27, 4.11, 3.41 and 3.24 kg.COD/kg.MLSS-day and the system F/M ratios were 1.41, 1.73, 0.52 and 0.50 kg-COD/kg.MLSS-day respectively.

The COD removal efficiency in the anaerobic tank varied with the sludge ages and varied inversely with the F/M ratio. When the sludge ages increased, the COD removal efficiency in the anaerobic tank was also increased.

Within the range of sludge ages of 3 to 15 days, the F/M ratio and the sludge age did not significantly affect the system total COD removal efficiency. The COD removal efficiency of the system was in the range of 94-96%.

At 20° C, the specific decay rate constant(b)= 0.002 hrs.⁻¹, the true growth yield(Y_g)= 0.367 g.cell/g.COD, the maximum specific growth rate constant(μ_m)= 0.015 hrs.⁻¹ and the half velocity constant(K_s)= 16.44 g.COD/m³.

ภาควิชา วิศวกรรมลิ่งและดลล้อม

ลายมือชื่อนิสิต.....

กมล-

สาขาวิชา วิศวกรรมสุขาภิบาล

ลายมือชื่ออาจารย์ที่ปรึกษา.....

ดร. ไม่

ปีการศึกษา 2539

ลายมือชื่ออาจารย์ที่ปรึกษาร่วม.....

กิตติกรรมประกาศ

ผู้เขียนขอกราบขอบพระคุณ รองศาสตราจารย์ ดร.อธิราช เกรอต ที่ได้พยายามอบรมสั่งสอน และแนะนำให้แก่ผู้วิจัยในการทำวิทยานิพนธ์เล่มนี้ให้สำเร็จลุล่วงไปด้วยดี

ขอกราบขอบพระคุณรองศาสตราจารย์ ดร.สุรพล สายพาณิช รองศาสตราจารย์สุรี ขาวເຊຍ และอาจารย์ศิริมา ปัญญาเมธิกุล ที่ช่วยกรุณาตรวจสอบบิทยานิพนธ์ อีกทั้งให้คำแนะนำในด้านวิชาการ แก่ผู้วิจัย รวมถึงคณะกรรมการคิววิชาชีวกรรมลิ้งแวดล้อมทุกท่านที่ประลิทธิประสาทความรู้ให้แก่ผู้วิจัย

ขอขอบพระคุณบริษัท บุญรอดบริวเวอร์ จำกัด ที่ได้อื้อเฟื้อน้ำเสียจากอุตสาหกรรมการผลิต เปียร์และน้ำตะกอนจุลินทรีย์ เพื่อให้ผู้วิจัยใช้ในการทดลองจนเป็นผลสำเร็จ

ผู้วิจัยขอขอบพระคุณผู้มีพระคุณทุกท่านที่ได้ช่วยเหลือให้ข้าพเจ้าจัดทำวิทยานิพนธ์เล่มนี้จนสำเร็จ

สุดท้ายผู้วิจัยขอกราบขอบพระคุณบิดา-มารดา ของข้าพเจ้า ที่พยายามเดี่ยวเช่นไให้ข้าพเจ้าร่วมเรียนให้สำเร็จ อีกทั้งกำลังใจที่ข้าพเจ้าได้รับจากคุณรุ่งนภา ศรีวิเศษศักดิ์ และ ด.ญ.คุณพิชญ์ สุขสถาน

สุก媚 สุขสถาน

สารบัญ

หน้า

บทคัดย่อภาษาไทย.....	ก
บทคัดย่อภาษาอังกฤษ.....	ข
กิตติกรรมประกาศ.....	ค
สารบัญ.....	ง
สารบัญตาราง.....	ภ
สารบัญรูปภาพ	ธ

บทที่

1 บทนำ.....	1
1.1 ความเป็นมา.....	1
1.2 มูลเหตุของการวิจัย.....	2
2 วัตถุประสงค์และขอบเขตการวิจัย.....	3
2.1 วัตถุประสงค์.....	3
2.2 ขอบเขตการวิจัย.....	3
3 กระบวนการเอกสารตีเสตเตดสลั๊ดจ์.....	5
3.1 แนะนำกระบวนการ.....	5
3.2 กลไกการทำงาน.....	6
3.3 การเกิดเอกสารตีเสตเตดสลั๊ดจ์.....	8
3.4 จุดชี้วิทยาของเอกสารตีเสตเตดสลั๊ดจ์.....	9

สารบัญ (ต่อ)

	หน้า
3.5 ปัจจัยที่มีผลต่อการทำงานของระบบ.....	10
3.5.1 ความเข้มข้นของสารอินทรีย์ในน้ำเสีย.....	10
3.5.2 อาหารเสริม.....	10
3.5.3 ออกซิเจนละลายน้ำ.....	11
3.5.4 ระยะเวลาในการบำบัด.....	11
3.5.5 ค่าพีเอช.....	11
3.5.6 สารเป็นพิษ.....	12
3.5.7 อุณหภูมิ.....	12
3.5.8 การกรุน.....	12
3.5.9 อัตราการไหลของเสีย.....	13
 3.6 จน์ศาสตร์ของแอกติเวตเตดสลัดจ์.....	13
3.6.1 การเจริญเติบโตของเซลล์และการใช้สารอาหาร.....	13
3.6.2 การสลายตัวของจุลชีพ.....	15
3.6.3 การตาย.....	16
3.6.4 ความสัมพันธ์ระหว่าง θ_c กับ μ และ s.....	16
3.6.5 ยึล์จากการสังเกต.....	17
 4 กระบวนการแอกติเวตเตดสลัดจ์แบบแอนแอกติวิติก-ออกซิค.....	18
4.1 ความเป็นมาของกระบวนการ.....	18
4.2 หลักการทำงานของกระบวนการแอนแอกติวิติก-ออกซิค แอกติเวตเตดสลัดจ์.....	19
4.3 เมราบอลิสชีมของกระบวนการแอนแอกติวิติก-ออกซิค แอกติเวตเตดสลัดจ์.....	25
4.4 จุลชีววิทยาในกระบวนการแอนแอกติวิติก-ออกซิค แอกติเวตเตดสลัดจ์	30

สารบัญ (ต่อ)

หน้า	
31	4.5 อัตราส่วนชีโอดีต่อฟอสฟอรัสของน้ำเสียเข้าในถังแอนแอโรบิก.....
32	4.6 ตัวแปรที่ผลต่อการเก็บสะสมอาหารภายในเซลล์ในช่วงแอนแอโรบิก
34	4.7 ข้อพิจารณาในการออกแบบแอนแอโรบิก - ออกซิค แอกติเวตเตคสลัดจ์
36	4.8 พารามิเตอร์ที่มีผลต่อการปลดปล่อยฟอสฟอรัส
37	4.9 ความสามารถในการบำบัดของกระบวนการแอนแอโรบิก-ออกแบบ 4.9.1 ความสามารถในการควบคุมตะกอนอืด.....
37	4.9.2 การประยัดพลังงานในการดำเนินการ.....
39	4.9.3 ความลงตัวของระบบ.....
40	4.9.4 คุณสมบัติของปุ่ยอินทรีย์ตะกอน.....
40	4.9.5 ความสามารถในการกำจัดสารอาหารจำเป็น โดยไม่ต้องใช้สารเคมี
40	4.9.6 การประยัดค่าก่อสร้าง.....
41	4.10 ปัจจัยที่มีผลต่อประสิทธิภาพในการกำจัดฟอสฟอรัสของกระบวนการ... 4.10.1 ความเข้มข้นชีโอดีที่เข้าระบบ.....
41	4.10.2 ภาระบรรทุกบีโอดี.....
42	4.10.3 ระยะเวลา กักเก็บตะกอน.....
42	4.10.4 ระยะเวลาเติมอากาศ.....
42	4.10.5 ค่าออกแบบละลายน้ำในช่วงแอโรบิก.....
42	4.10.6 ค่าอุณหภูมิ.....
43	4.10.7 การออกแบบถังตกตะกอนและความสามารถในการตก ตะกอนของสลัดจ์.....
43	4.10.8 ระยะเวลา กักเก็บ.....

สารบัญ (ต่อ)

หน้า

5 แบบจำลองทางคณิตศาสตร์ของกระบวนการแอนแอกอโรบิค.....	44
5.1 สมนติฐานในการสร้างโมเดลของระบบ.....	44
5.2 สมการที่สภาวะคงตัว (Steady state equations).....	44
5.2.1 การปลดปล่อยฟอสฟอรัสในช่วงแอนแอกอโรบิค และการคัดซับ สารอาหารเข้าในเซลล์.....	46
5.2.2 การใช้ PHB และการคัดซับฟอสฟอรัสในช่วงแอนโรบิค.....	46
5.2.2.1 การสังเคราะห์เซลล์ (ชนิดโพลีพี).....	46
5.2.2.2 การถ่ายตัวของจุลินทรีย์ (ชนิดโพลีพี).....	47
5.2.2.3 การตาย.....	48
5.2.2.4 มวลของเซลล์ที่มีชีวิต.....	48
5.2.2.5 มวลของเซลล์ที่ตาย.....	49
5.2.2.6 มวลของสลัดจ์ทึ่งหมดในระบบ.....	49
5.2.2.7 ค่าผลต์ปรากฏ (Observed Yield).....	50
5.2.2.8 มวลของสลัดจ์ที่เททิ่งต่อวัน.....	50
5.2.2.9 มวลของฟอสฟอรัสที่ถูกถ่ายออกต่อวัน.....	50
5.3 ระบบจุลินทรีย์ผสม (Mixed culture).....	53
5.3.1 จนศึกษาศาสตร์ของการเปลี่ยนสารอาหารที่ย่อยสลายได้ง่าย.....	53
5.3.2 สมการที่สภาวะคงตัวของการเปลี่ยน RBCOD เป็น SCVFA.....	55
5.4 ผลของอุณหภูมิต่อค่าพารามิเตอร์จน.....	58

สารบัญ (ต่อ)

	หน้า
6 แผนการทดลองและการดำเนินการวิจัย.....	60
6.1 แผนการทดลอง.....	60
6.2 การเตรียมน้ำเสียที่ใช้ในการทดลอง.....	61
6.3 เครื่องมือและอุปกรณ์ที่ใช้ในการทดลอง.....	61
6.3.1 การติดตั้งเครื่องมือและหลักการทำงาน	62
6.3.2 ถังเก็บน้ำเสีย และถังเก็บน้ำใส่จากการบำบัด.....	64
6.3.3 เครื่องสูบน้ำเสียเข้าระบบและเครื่องสูบเวียนตะกอนกลับ.....	64
6.3.4 ถังแอนแอโรบิก.....	64
6.3.5 ถังแอโรบิก.....	65
6.3.6 ถังตกตะกอน.....	66
6.3.7 ท่อน้ำเข้าและท่อน้ำออก.....	66
6.4 การเก็บตัวอย่างและการวิเคราะห์.....	67
6.4.1 การเก็บตัวอย่างน้ำ.....	67
6.4.2 วิธีวิเคราะห์ตัวอย่างน้ำ.....	68
6.5 การควบคุมการทดลอง.....	68
7 ผลการทดลองและการวิจารณ์.....	71
7.1 การเริ่มน้ำเสียงจุลินทรีย์.....	71
7.2 การเข้าสู่สภาพแวดล้อมตัว.....	72

สารบัญ (ต่อ)

	หน้า
7.3 ค่าพีเอช.....	85
7.4 ออกซิเจนละลายน้ำ.....	85
7.5 ค่าอุณหภูมิ.....	86
7.6 ค่าตะกอนแขวนลอย (MLSS).....	86
7.7 ค่าอัตราส่วนอาหารต่อจุลินทรีย์.....	88
 7.7.1 อัตราส่วนสารอาหารเข้าต่อปริมาณจุลินทรีย์ในถังแอนแอโรบิก	88
 7.7.2 อัตราส่วนสารอาหารเข้าต่อปริมาณจุลินทรีย์ในระบบ.....	90
 7.8 ประสิทธิภาพในการกำจัดตะกอนแทןลอย (MLSS).....	91
 7.9 ประสิทธิภาพในการกำจัดเชื้อโรค.....	92
 7.9.1 ประสิทธิภาพในการกำจัดเชื้อโรคดีละลายน้ำในถังแอนแอโรบิก.....	93
 7.9.2 ประสิทธิภาพในการกำจัดเชื้อโรคดีทั้งหมดในระบบ.....	98
 7.10 ความสามารถในการรับตัวของตะกอนในถังแอโรบิก.....	100
 7.11 การตรวจสอบทางจุลชีววิทยาในถังแอโรบิก.....	107
 7.12 การหาค่าพารามิเตอร์จลน์รวมทั้งระบบที่อุณหภูมิทดลอง 28°ช.....	114
 7.12.1 การหาค่า COD ที่ไม่ย่อยสายพากชีวะ (C_i).....	115
 7.12.2 การหาค่า Y_g และ b	117
 7.12.3 การหาค่า μ_m และ K_s.....	119
 7.12.4 การปรับแก้ค่าพารามิเตอร์จลน์เนื่องจากผลของอุณหภูมิ.....	121
 7.13 การหาค่าคงที่อันดับหนึ่งในถังแอนแอโรบิกที่อุณหภูมิทดลอง 28°ช.....	121

สารบัญ (ต่อ)

หน้า

7.14 การใช้ค่าพารามิเตอร์จนจากการทดลองในการทำนายผล.....	123
8 สรุปผลการวิจัยและข้อเสนอแนะ.....	128
8.1 สรุปผลการวิจัย.....	128
8.2 ข้อเสนอแนะ.....	129
9 ความสำคัญของงานวิจัยในงานวิศวกรรมสิ่งแวดล้อม.....	130
รายการอ้างอิง.....	132
ภาคผนวก ก วิธีการหาค่าพารามิเตอร์.....	137
ภาคผนวก ข ข้อมูลจากการทดลอง.....	147
ภาคผนวก ค การหาค่า f และ f'	179
ภาคผนวก ง น้ำเสียโรงงานผลิตเบียร์.....	182
ประวัติผู้เขียน.....	184

สารบัญตาราง

หน้า

ตารางที่ 4.1	สรุปกระบวนการที่เกิดขึ้นในแต่ละช่วงของการดำเนินงาน.....	30
ตารางที่ 4.2	ค่าตัวอย่างที่ใช้ในการออกแบบและพารามิเตอร์ที่ใช้ในกระบวนการ A/O สำหรับกำจัดฟอสฟอรัส.....	35
ตารางที่ 4.3	เปรียบเทียบการใช้พลังงานต่อปริมาตรน้ำเสีย ที่เข้าสู่ระบบ แอนแอโรบิก-ออกซิค และระบบแอดดิติเวตเตดสลั๊ดจ์ แบบธรรมดากับ Seibu Sewer Work ประเทศญี่ปุ่น.....	39
ตารางที่ 5.1	ค่าสัดส่วนฟอสฟอรัสของจุลินทรีย์ชนิดโพลีฟิโนเจลส์ที่มีชีวิต ($f_{XBG,P}$)....	52
ตารางที่ 6.1	แผนกราฟทดลอง.....	61
ตารางที่ 6.2	พารามิเตอร์ที่วัดและความถี่ในการวิเคราะห์.....	67
ตารางที่ 6.3	วิธีวิเคราะห์หาค่าพารามิเตอร์ต่าง ๆ	68
ตารางที่ 6.4	ปริมาณน้ำตะกอนที่ต้องระบายน้ำทิ้งของการทดลองทั้ง 4 ชุด.....	70
ตารางที่ 7.1	ค่าเฉลี่ยและค่าส่วนเบี่ยงเบนมาตรฐานในช่วงสภาวะคงที่ (Steady State) ของพารามิเตอร์ที่ทำการวัดในแต่ละตำแหน่งของการทดลองชุดที่ 1 ($\theta_c = 3$ วัน).....	81
ตารางที่ 7.2	ค่าเฉลี่ยและค่าส่วนเบี่ยงเบนมาตรฐานในช่วงสภาวะคงที่ (Steady State) ของพารามิเตอร์ที่ทำการวัดในแต่ละตำแหน่งของการทดลองชุดที่ 2 ($\theta_c = 7$ วัน).....	82
ตารางที่ 7.3	ค่าเฉลี่ยและค่าส่วนเบี่ยงเบนมาตรฐานในช่วงสภาวะคงที่ (Steady State) ของพารามิเตอร์ที่ทำการวัดในแต่ละตำแหน่งของการทดลองชุดที่ 3 ($\theta_c = 11$ วัน).....	83
ตารางที่ 7.4	ค่าเฉลี่ยและค่าส่วนเบี่ยงเบนมาตรฐานในช่วงสภาวะคงที่ (Steady State) ของพารามิเตอร์ที่ทำการวัดในแต่ละตำแหน่งของการทดลองชุดที่ 4 ($\theta_c = 15$ วัน).....	84

สารบัญตาราง (ต่อ)

หน้า

ตารางที่ 7.6	ค่าอายุตะกอนในระบบ θ_c และค่า F/M ในถังแอนแอโรบิกของ การทดลอง 4 ชุด.....	89
ตารางที่ 7.7	ค่าอายุตะกอนในระบบ θ_c และค่า F/M ในระบบรวมทั้งหมด.....	90
ตารางที่ 7.8	ค่าตะกอนแขวนลอย (MLSS) ในการทดลองชุดที่ 1, 2, 3 และ 4.....	91
ตารางที่ 7.9	ค่าประสิทธิภาพในการกำจัดซีอีดีละลายนของการทดลอง.....	93
ตารางที่ 7.10	ผลของการสมดุลย์มวลของซีอีดีในการทดลอง.....	95
ตารางที่ 7.11	ค่า V_{30} และ ค่า SVI ในถังเติมอากาศของชุดการทดลอง ที่ 1,2,3 และ 4.....	101
ตารางที่ 7.12	ค่า SVI และค่า q_{fe} ของการทดลองทั้ง 4 ชุด.....	106
ตารางที่ 7.13	พารามิเตอร์ต่าง ๆ ในการคำนวณหาค่า q	116
ตารางที่ 7.14	ค่าจากการคำนวณเพื่อหาค่า Y_s และ b	118
ตารางที่ 7.15	ค่าจากการคำนวณเพื่อหาค่า K_s และ μ_m	119
ตารางที่ 7.16	การคำนวณเพื่อหาต่าคงที่อันดับแรกในถังแอนแอโรบิก	122
ตารางที่ 7.17	การคำนวณหาค่าเชลล์ทั้งหมดจากการใช้ค่าพารามิเตอร์จลน์	124
ตารางที่ 7.18	การคำนวณหาค่าสารอาหารละลายนในถังแอนแอโรบิกโดยการใช้ค่า $K=0.027 \text{ วัน}^{-1}$	124

สารบัญรูปภาพ

หน้า

รูปภาพที่ 3.1	หลักการทำงานของกระบวนการแยกตัวเตตเดสลัดจ์	5
รูปภาพที่ 3.2	ปฏิกิริยาการเปลี่ยนแปลงต่าง ๆ ที่เกิดขึ้นในกระบวนการบำบัดทางชีววิทยาแบบไม่ต่อเนื่อง (Batch-process).....	6
รูปภาพที่ 3.3	กราฟแสดงความสัมพันธ์ระหว่างอัตราการเจริญเติบโตจำเพาะ (μ) กับปริมาณสารอาหารที่จำกัดการเจริญเติบโต (S).....	15
รูปภาพที่ 4.1	กระบวนการต่าง ๆ ที่ใช้กำจัดสารอาหารจำเป็น (Nutrient).....	20
รูปภาพที่ 4.2	กระบวนการแอนแอโรบิก-ออกซิค แยกตัวเตตเดสลัดจ์.....	22
รูปภาพที่ 4.3	ปฏิกิริยาภายในเซลล์ของกระบวนการกรองแอนแอโรบิก-ออกซิค.....	23
รูปภาพที่ 4.4	การเปลี่ยนแปลงของความเข้มข้นบีโอดีและฟอสฟอรัส.....	23
รูปภาพที่ 4.5	ระบบแอนแอโรบิก-ออกซิคแยกตัวเตตเดสลัดจ์ สำหรับกำจัดบีโอดีและฟอสฟอรัสในการณ์ที่ต้องการให้ปฏิกิริยานิตรีฟิเดชั่นและดีนิตรีฟิเดชั่นเกิดขึ้น	25
รูปภาพที่ 4.6	แผนภาพการทำงานทางชีวเคมีของระบบแอนแอโรบิก-ออกซิค.....	26
รูปภาพที่ 4.7	รูปแบบของกลไกเมทานอลิชีน ในสภาพแอนแอโรบิกของแบคทีเรียชนิดสะสมโพลีฟอสเฟต.....	28
รูปภาพที่ 4.8	รูปแบบของกลไกเมทานอลิชีน ในสภาพแอนแอโรบิกของแบคทีเรียชนิดสะสมโพลีฟอสเฟต.....	29
รูปภาพที่ 5.1	แสดงโนเดลสมดุลย์มวลของกระบวนการแอนแอโรบิก-ออกซิค แยกตัวเตตเดสลัดจ์.....	45
รูปภาพที่ 5.2	แสดงโนเดลสมดุลย์มวลของ S_u ในถังแอนแอโรบิก.....	56
รูปภาพที่ 6.1	การติดตั้งเครื่องมือที่ใช้ในการทดลองจริงในห้องปฏิบัติการ	62
รูปภาพที่ 6.2	การติดตั้งเครื่องมือและหลักการทำงานของกระบวนการ แยกตัวเตตเดสลัดจ์ แบบแอนแอโรบิก-ออกซิค.....	63
รูปภาพที่ 6.3	ถังแอนแอโรบิก (Anaerobic Tank) ที่ใช้ในการทดลอง.....	64
รูปภาพที่ 6.4	ถังแอโรบิก (Aerobic Tank) ที่ใช้ในการทดลอง.....	65
รูปภาพที่ 6.5	ถังตะกอน (Sedimentation Tank) ที่ใช้ในการทดลอง.....	66

สารบัญรูปภาพ(ต่อ)

หน้า

รูปภาพที่ 7.1	แนวโน้มของค่าพารามิเตอร์ต่าง ๆ ของการทดลองชุดที่ 1 ค่าอายุตะกอน (sludge Age = 3 วัน).....	73
รูปภาพที่ 7.2	แนวโน้มของค่าพารามิเตอร์ต่าง ๆ ของการทดลองชุดที่ 2 ค่าอายุตะกอน (sludge Age = 7 วัน).....	75
รูปภาพที่ 7.3	แนวโน้มของค่าพารามิเตอร์ต่าง ๆ ของการทดลองชุดที่ 3 ค่าอายุตะกอน (sludge Age = 11 วัน).....	77
รูปภาพที่ 7.4	แนวโน้มของค่าพารามิเตอร์ต่าง ๆ ของการทดลองชุดที่ 4 ค่าอายุตะกอน (sludge Age = 15 วัน).....	79
รูปภาพที่ 7.5	ความสัมพันธ์ระหว่างค่าอายุตะกอน θ_c กับค่า MLSS ในถังแอนแอโรบิก (MLSS _{AN}) และค่า MLSS ในถังแอโรบิก (MLSS _{AE}).....	87
รูปภาพที่ 7.6	ความสัมพันธ์ระหว่างค่าอัตราส่วนอาหารต่อจุลินทรีย์ใน ถังแอนแอโรบิก ,F/M(วัน ⁻¹) และค่าอายุตะกอนของระบบ, θ_c (วัน).....	89
รูปภาพที่ 7.7	ความสัมพันธ์ระหว่างค่าอัตราส่วนอาหารต่อจุลินทรีย์ของระบบทั้งหมดกับ ค่าอายุตะกอน, θ_c	91
รูปภาพที่ 7.8	ความสัมพันธ์ระหว่างค่าอายุตะกอนของระบบกับประสิทธิภาพในการกำจัด ตะกอนแขวนลอยของระบบ.....	92
รูปภาพที่ 7.9	กราฟแสดงความสัมพันธ์ระหว่างประสิทธิภาพการกำจัดซีโอดีและภายกับ ค่าอายุตะกอนของระบบ θ_c	94
รูปภาพที่ 7.10	ความสัมพันธ์ระหว่างค่าอายุตะกอน (θ_c) กับค่าประสิทธิภาพในการกำจัด ซีโอดีกับค่าอัตราส่วนอาหารต่อจุลินทรีย์ในถังแอนแอโรบิก.....	94
รูปภาพที่ 7.11	การดุลมวล (Mass Balance) รอบถังแอนแอโรบิกของซีโอดี.....	95
รูปภาพที่ 7.12	ความสัมพันธ์ระหว่างการกำจัดซีโอดี ในถังแอนแอโรบิกกับ ค่าอายุตะกอน, θ_c	96
รูปภาพที่ 7.13	ความสัมพันธ์ระหว่างประสิทธิภาพกำจัดซีโอดีรวมของระบบกับ ค่าอายุตะกอน, θ_c	99

สารบัญรูปภาพ(ต่อ)

หน้า

รูปภาพที่ 7.14	ความสัมพันธ์ระหว่างค่าอายุตะกอน Θ_c และค่า V_{30} ในถังเติมอากาศ.....	104
รูปภาพที่ 7.15	ความสัมพันธ์ระหว่างค่า SVI กับอายุตะกอน จากการทดลองของ Rodrigo, 1996.....	105
รูปภาพที่ 7.16	ความสัมพันธ์ระหว่างค่า SVI และ q_r	107
รูปภาพที่ 7.17	จุลชีพในถังออกซิค ในช่วง 7 วันแรกของการทดลองที่ค่าอายุตะกอน เท่ากับ 3 วัน.....	109
รูปภาพที่ 7.18	จุลชีพในถังออกซิค ในช่วง 7 วันแรกของการทดลองที่ค่าอายุตะกอน เท่ากับ 7 วัน.....	109
รูปภาพที่ 7.19	จุลชีพในถังออกซิค ในช่วง 7 วันแรกของการทดลองที่ค่าอายุตะกอน เท่ากับ 11 วัน.....	110
รูปภาพที่ 7.20	จุลชีพในถังออกซิค ในช่วง 7 วันแรกของการทดลองที่ค่าอายุตะกอน เท่ากับ 15 วัน.....	110
รูปภาพที่ 7.21	จุลชีพในถังออกซิค ในช่วงวันที่ 45 ของการทดลองที่ค่าอายุตะกอน เท่ากับ 3 วัน.....	112
รูปภาพที่ 7.22	จุลชีพในถังออกซิค ในช่วงวันที่ 45 ของการทดลองที่ค่าอายุตะกอน เท่ากับ 7 วัน.....	112
รูปภาพที่ 7.23	จุลชีพในถังออกซิค ในช่วงวันที่ 45 ของการทดลองที่ค่าอายุตะกอน เท่ากับ 11 วัน.....	113
รูปภาพที่ 7.24	จุลชีพในถังออกซิค ในช่วงวันที่ 45 ของการทดสอบที่ค่าอายุตะกอน เท่ากับ 15 วัน.....	113
รูปภาพที่ 7.25	สมนติฐานในการหาพารามิเตอร์ลน'ของระบบแยกตัวเดลลัลจ์ แบบแอนด์โรบิค-ออกซิค.....	114
รูปภาพที่ 7.26	กราฟแสดงความสัมพันธ์ระหว่าง q และ C เพื่อหาค่า C_p	117
รูปภาพที่ 7.27	ความสัมพันธ์ระหว่าง $1/\Theta_c$ และค่า $(S_0 - S)/X't$	118
รูปภาพที่ 7.28	ความสัมพันธ์ระหว่าง $S/(1/\Theta_c) + b + \gamma$ และ S	120

สารบัญรูปภาพ(ต่อ)

หน้า

รูปภาพที่ 7.29	ค่า MLSS ที่ได้จากการทดลองและที่คำนวณจากการใช้ค่าพารามิเตอร์ ในการคำนวณ.....	126
รูปภาพที่ 7.30	ค่าสารอาหารละลายน้ำในถังแอนแอโรบิกที่ได้จากการทดลองและที่คำนวณ จากการใช้ค่าพารามิเตอร์จลน์ในการคำนวณ.....	127
รูปภาพที่ พ.1	การหาค่า C_i จากข้อมูลของถังปฏิกรณ์.....	141
รูปภาพที่ พ.2	ความสัมพันธ์ระหว่าง $1/\theta_c$ และ $(S_o - S)/X$ ในถังปฏิกรณ์ ที่การหมุนเวียนเซลล์กลับ.....	143
รูปภาพที่ พ.3	กราฟการหาค่า γ	144
รูปภาพที่ พ.4	กราฟการหาค่า μ_m และค่า K_s	145
รูปภาพที่ พ.5	กราฟการหาค่า μ_m และค่า K_s (โดยวิธีกำลังสองน้อยที่สุด).....	145